

تغییرات انحنای سطح پوسته زمین در ایران با نظریه تحلیلی تغییر شکل

محمد رضا جعفری^{*}, مسعود مشهدی حسینعلی^۲, بهزاد وثوقی^۳

اکارشناس ارشد ژئودزی-دانشکده مهندسی نقشهبرداری - دانشگاه صنعتی خواجه نصیرالدین طوسی

mrezajafari2@yahoo.com

استادیار دانشکده مهندسی نقشهبرداری - دانشگاه صنعتی خواجه نصیرالدین طوسی

hossainali@kntu.ac.ir

دانشیار گروه مهندسی زئودزی - دانشکده مهندسی نقشه برداری - دانشگاه صنعتی خواجه نصیرالدین طوسی

(عضو قطب علمی مهندسی فناوری اطلاعات مکانی)

vosoghi@kntu.ac.ir

(تاریخ دریافت مرداد ۱۳۹۱، تصویب تیر ۱۳۹۳)

چکیدہ

نظریه تحلیلی تغییر شکل سطح پوسته زمین، برمبنای نظریه پوسته در مکانیک محیط‌های پیوسته است. این نظریه یک مدل‌بندی هندسه دیفرانسیل است که سطح توپوگرافی زمین را رویه‌ای با انحصاری متغیر در نظر می‌گیرد. با وجود اینکه در این نظریه از مشاهدات میدان‌های جابجایی سه بعدی استفاده می‌شود اما محاسبات، صرفا در دو بعد است. مؤلفه ارتفاع را تابعی از مختصات طول و عرض ژئودتیک سطح در نظر می‌گیرد. مشتقات ارتفاع را با روش درون‌یابی اجزای محدود (با کمک مثلث‌بندی دلونی) می‌توان بدست آورد و در ادامه تنسور متربیک و تنسور اساسی دوم سطح زمین را تعیین می‌کند. آنگاه دو کمیت ناورداری تغییر شکل یعنی ((تغییرات انحصاری گاؤسی و متوسط)) را بررسی نمود. بررسی‌های این تحقیق روی ایستگاه‌های سیستم تعیین موقعیت جهانی GPS شبکه موردي ایران سراسری در اپک‌های ۲۰۰۱ و ۲۰۰۵ میلادی است کهنه‌شان می‌دهد که مدل تغییرات انحصاری (گاؤسی $=10^{-21} \text{m}^2/\text{yr}$) و متوسط (۰.۵۰۳ $\times 10^{-14} \text{myr}$) پوسته زمین در شمال تنگه هرمز، شواهدی از پدیده فروزانش را در منطقه مکران آشکار می‌کند و بیشترین مقادیر تغییر انحصاری هم، با امتداد دو رشته کوه البرز (۹.۹۹۲ $\times 10^{-21} \text{m}^2/\text{yr}$) و زاگرس (۱.۵۷۴ $\times 10^{-21} \text{m}^2/\text{yr}$) مطابقت دارند. نشست‌ها در مسیرهای شبکه ترازیابی دقیق سراسری ایران نیز اکثراً در مناطق با کاهش انحصار قرار دارند.

وازگان کلیدی: نظریه تحلیلی تغییرشکل سطح، تنسور متریک، تنسور انحنای متوسط، انحنای گاووسی، معیارهای ناوردای

تغیر شکل

* نه سندہ، ابط

۱- مقدمه

انحنای‌های گاوی و متوسط پرداخته است و در ادامه به جنبه‌های تصادفی آنالیز تغییر شکل می‌پردازد. رئوفیان [۵] (ش ۱۳۸۷) تعیین تغییر شکل با استفاده از هندسه ذاتی را با نتایج دو روش متفاوت دیگر در ایران مقایسه نموده است.

آمیغ پی و همکاران (ش ۱۳۹۰) [۶] به بررسی تغییر شکل ارتفاعی پوسته زمین در منطقه خراسان پرداخته‌اند. نتایج تحقیقات آنها نشان می‌دهد که برای بررسی نحوه تغییر شکل ارتفاعی پوسته زمین، کمیت‌های ناوردایی^۴ (مستقل از سطح مبنا) (Datum) همچون تغییر انحنای‌های گاوی و متوسط، جایگزین مناسبی برای روش‌های دیگر بررسی تغییر شکل مبتنی بر سرشکنی مشاهدات ژئودتیک، می‌باشند. خصوصاً در مناطقی که با مشکل تثبیت سطح مبنا مواجه‌اند.

در این تحقیق سعی شده است با استفاده از روابط استخراج شده توسط آلتینر [۱] و با کمک مفاهیم و روابط وثوقی [۳] به مطالعه تغییرات انحنای سطح پوسته زمین در فلات ایران پرداخته شود. از آنجا که نتایج تحقیق آلتینر [۱] حاصله از نظریه تحلیلی تغییر شکل سطح با نتایج تحقیقات زلزله‌شناسی و زمین‌شناسی در ناحیه دریای آدریاتیک سازگاری دارد و همچنین وثوقی [۳] الگوی تغییرات انحنای پوسته در شمال اروپا، دریای شمال و نواحی مدیترانه را آشکارکننده شواهدی از پدیده‌های زمین‌شناسی و ژئوفیزیکی می‌داند هدف اولیه این تحقیق این است که با تعیین تغییرات انحنای گاوی و متوسط که معیارهای ناوردایی از نظریه تحلیلی تغییر شکل می‌باشند؛ آیا شواهدی از پدیده‌های مشابه زمین‌شناسی و ژئوفیزیکی در فلات ایران آشکار می‌شود؟

از آنجا که این تحقیق در ادامه تحقیق مشهدی حسینعلی (ش ۱۳۸۹) [۷] بوده و از نتایج پردازش‌های آن تحقیق استفاده کرده است، هدف دیگر این تحقیق این است که با توجه به مشکلات مطرح شده در مشهدی حسینعلی [۷] به بررسی چگونگی انطباق الگوی تغییرات انحنای پوسته زمین با محدوده‌های نشست در شبکه ترازیابی دقیق سراسری ایران پرداخت.

علم ژئودزی به اندازه‌گیری هندسه سطح زمین و میدان جاذبه آن و تغییرات آنها می‌پردازد. آنالیز تغییر شکل سطح پوسته زمین بر اساس اندازه‌گیری‌های کلاسیک ژئودتیک، سالیان سال است که موضوع بحث در سالهای اخیر، تکنیک‌های ژئودزی فضایی منابع جدیدتر و با دقت بالاتر و قابل اعتمادتری از اطلاعات را جهت تعیین موقعیت ژئودتیک مهیا کرده است که جهت آشکارسازی و کمی سازی تغییر شکل‌های سطح زمین به کار رفته‌اند.

در سالیان اخیر برخی از تحقیقات در ژئودزی، آنالیز تغییر شکل را از دیدگاه هندسه دیفرانسیلی و با توجه به نظریه پوسته^۱ مورد بررسی قرار داده‌اند. آلتینر (۱۹۹۹م) [۱] با استفاده از مفاهیم هندسه دیفرانسیلی معرفی شده توسط هیتز (۱۹۸۸م) [۲]، روابط نظریه تحلیلی تغییر شکل سطح پوسته زمین را استخراج کرده است. وی روابط اندازه‌گیری تغییر شکل مبتنی بر هندسه ذاتی^۲ و غیر ذاتی^۳ را براساس مختصات کارتزین و بیضوی توسعه داده است. او ارتفاع را تابعی از مختصات سطحی در نظر گرفته و جهت محاسبه کمیت‌های تغییر شکلی همچون تغییر انحنای، مشتقات ارتفاع را نسبت به مختصات سطحی محاسبه کرده است. وی جهت محاسبه این مشتقات از سه روش درون‌بایی چندجمله‌ای (اسپیلاین)، کولوکیشن و اجزای محدود مثلثی استفاده کرده و آنها را با هم مقایسه نموده است. وثوقی (۲۰۰۰م) [۳] با تکیه بر مفاهیم نظریه پوسته در مکانیک محیط‌های پیوسته، روابط هندسه ذاتی و غیر ذاتی تغییر شکل سطح زمین را با دو نگرش لاگرانژی و اولری مورد آنالیز قرار داده است. در ادامه کار او، مقتصد آذر (۲۰۰۷م) [۴] به توسعه روابط مبتنی بر هندسه ذاتی پرداخته و نتایج آن را در آنالیز تغییر شکل سطح در شبکه‌ای چگال از نقاط سیستم تعیین موقعیت جهانی (GPS) بررسی کرده و به طبقه بندي سطح تغییر شکل یافته بر اساس علامت تغییر

^۱ Shell Theory

^۲ Intrinsic

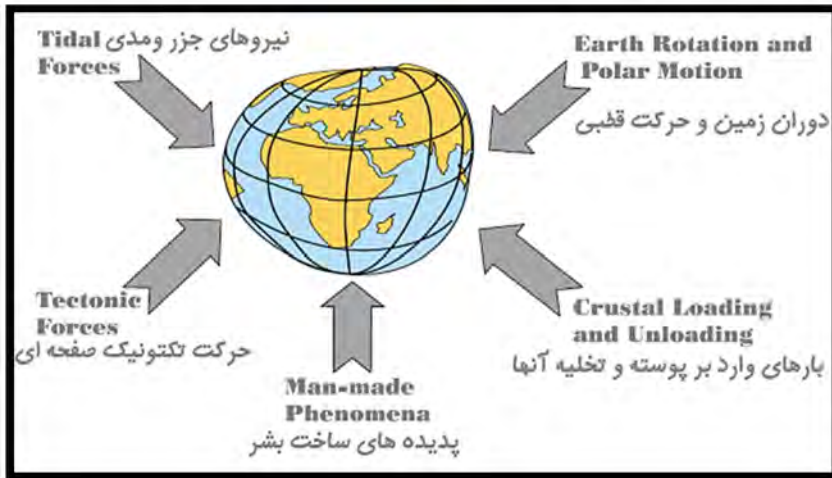
^۳ Extrinsic

۲- مبانی نظریه تحلیلی تغییر شکل سطح پوسته زمین

به سبب پدیده‌هایی همچون دوران زمین، حرکت‌های قطبی، بارها، شتاب‌های جزر و مدی، حرکت تکتونیک صفحه‌ای و... زمین در حال تغییرشکل می‌باشد. شکل ۱ پدیده‌های موثر بر تغییر شکل زمین را نشان می‌دهد.

بر خلاف مشهدی حسینعلی [۷] که از روش درون‌یابی کولوکیشن جهت محاسبه مشتقات ارتفاع نسبت به مختصات سطحی استفاده کرده و صرفاً به محاسبه تغییر انحنای متوسط بسته کرده است ما در این تحقیق از روش درون‌یابی اجزای محدود مثلثی استفاده کرده و به محاسبه مقایسه نتایج هم تغییر انحنای متوسط و هم تغییر انحنای گاوی می‌پردازیم.

جهت مقایسه نتایج نظریه تحلیلی تغییر شکل سطح براساس روش درون‌یابی با هارمونیک اسپیلائین با روش اجزای محدود مثلثی به جعفری (۱۳۸۸) [۸] رجوع شود.



شکل ۱- پدیده‌های موثر بر تغییر شکل زمین (وثوقی [۳])

آن، که اصطلاحاً ضخامت نامیده می‌شود، بسیار کوچکتر از دو بعد دیگر آن است (وثوقی [۳]). بنابراین، پوسته را می‌توان جسم سطح مانند در نظر گرفت. در واقع، توصیف رفتار سه بعدی یک جسم تغییر شکل پذیر با استفاده از میدان‌های سطحی توسط نظریه پوسته انجام می‌شود.

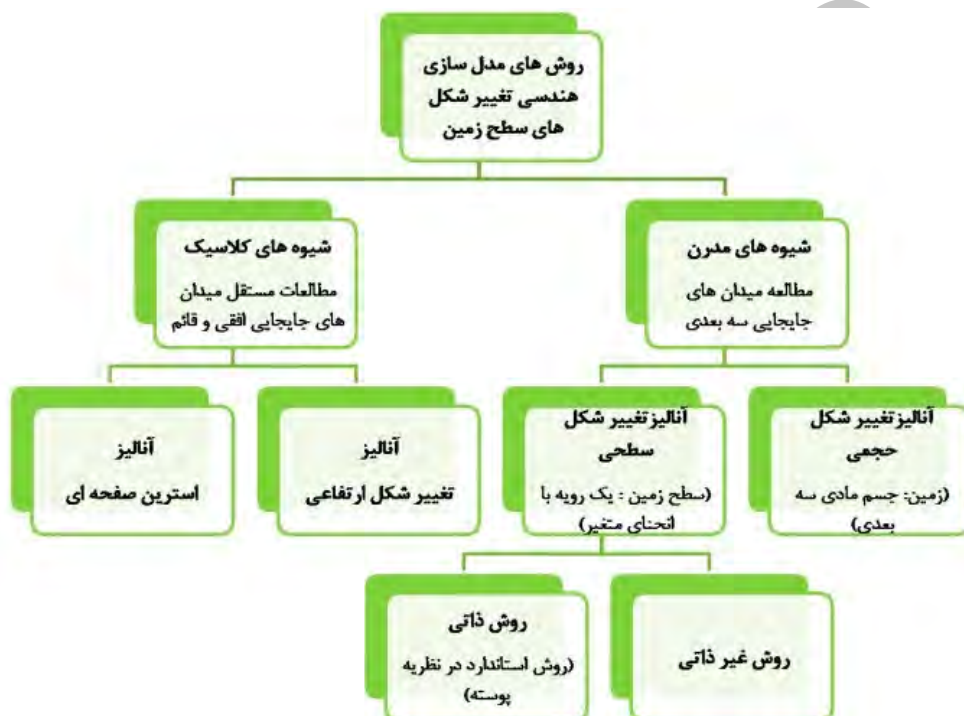
آنالیز تغییرشکل زمین بر پایه مشاهدات ژئودزی زمینی و فرازمینی، یکی از موضوعات بحث در ژئودزی است (وثوقی [۳]). نظریه تحلیلی تغییر شکل سطح پوسته زمین مبتنی بر نظریه پوسته در مکانیک محیط‌های پیوسته از علم فیزیک است. شکل ۲ جایگاه نظریه پوسته در علم فیزیک را نشان می‌دهد. پوسته یک جسم مادی سه بعدی است که یک بعد



شکل ۲- جایگاه نظریه پوسته در علم فیزیک (وثوقی [۳])

شکل ۳، وثوقی [۳]، روش‌های مختلف مدل‌سازی هندسی تغییر شکل‌های سطح زمین را نشان می‌دهد و به جایگاه روش ذاتی در آنالیز تغییر شکل سطحی (و یا همان نظریه تحلیلی تغییر شکل سطح) در میان دیگر روش‌ها اشاره دارد. در رابطه با مزیت‌های این روش باید گفت که این روش بر مبنای میدان جابه‌جایی سه بعدی است و مولفه‌های افقی و مولفه قائم تغییر شکل را با هم شامل می‌شود و سادگی محاسبات در فضاهای دو بعدی را نیز حفظ می‌کند و محاسبات نیز مربوط به سطح واقعی زمین می‌باشد.

نظریه تحلیلی تغییر شکل سطح، بر مبنای هندسه دیفرانسیل سطح، سطح توپوگرافی پوسته زمین را به صورت یک سطح منحنی (رویه) تعمیم یافته که در فضای اقلیدسی سه‌بعدی محاط شده است، در نظر می‌گیرد و فرض می‌کند که سطح زمین به صورت یک سطح منحنی پارامتری شده و نرم (بدون لبه و تیزی) است که مبدأ آن، مرکز جرم زمین است و نگاشت آن به روی سطح مرجعش یکتابع یک به یک است (وثوقی [۳] و آلتینر [۱]). (رجوع کنید به بخش ۳).



شکل ۳- روش‌های مدل‌سازی هندسی تغییر شکل‌های سطح زمین (وثوقی [۳])

x_i : مختصات کارترین قبل از تغییر شکل ; $i = \{1,2,3\}$
 \bar{x}_i : مختصات کارترین بعد از تغییر شکل ; $i = \{1,2,3\}$
 q^a : مختصات منحنی الخط قبل از تغییر شکل ; $a = \{1,2,3\}$
 \bar{q}^a : مختصات منحنی الخط بعد از تغییر شکل ; $a = \{1,2,3\}$
 ds : المان طولی

g_{ab} : تنسور متریک (تنسور اساسی اول) در میدان سه‌بعدی
 $\partial x_i / \partial q^a, \partial x_i / \partial q^b$: بردارهای پایه در میدان سه بعدی
(مشتق مختصات کارترین نسبت به مختصات منحنی الخط سه بعدی)
 F : سطح

برای مقایسه نتایج روش‌های فوق و آشنایی با تحقیقات انجام شده در این زمینه به وثوقی [۳] و رئوفیان [۵] مراجعه شود.

۳- روابط نظریه تحلیلی تغییر شکل سطح پوسته زمین:

P : نقطه
 V : جسم حجمی
 t : زمان قبل از تغییر شکل
 \bar{t} : زمان بعد از تغییر شکل
 $x_i = (X, Y, Z)$: مختصات کارترین

$$\delta K = \bar{K} - K$$

$$\delta H = \bar{H} - H$$

۱-۳- تنسور متریک (تنسور اساسی اول)

در میدان سه بعدی نقاط $\{P\} \in V$ جسم حجیم مختصات کارتزین قبیل از تغییر شکل (در زمان t) و بعد از تغییر شکل (در زمان) \bar{t} را با

$$x_i, \bar{x}_i \quad i = \{1,2,3\} \quad (1)$$

نشان داده، همچنین مختصات منحنی الخط در زمان های t و \bar{t} را با

$$q^a, \bar{q}^a \quad a = \{1,2,3\} \quad (2)$$

نشان می دهیم. چنانچه ds المان طولی باشد؛ خواهیم داشت:

$$ds^2 = dx_i dx_i = \frac{\partial x_i}{\partial q^a} \frac{\partial x_i}{\partial q^b} dq^a dq^b = g_{ab} dq^a dq^b \quad (3)$$

: g_{ab} را تنسور متریک گویند (آلینر [۱]):

$$g_{ab} = \frac{\partial x_i}{\partial q^a} \frac{\partial x_i}{\partial q^b} \quad (4)$$

$\frac{\partial x_i}{\partial q^a}$ و $\frac{\partial x_i}{\partial q^b}$ مشتق مختصات کارتزین نسبت به مختصات منحنی الخط سه بعدی را بردارهای پایه در میدان سه بعدی گویند.

در میدان دو بعدی نقاط

سطح $\{P\} \in F$

مختصات منحنی الخط سطحی را با

$$u^\alpha, \bar{u}^\alpha \quad \alpha = \{1,2\} \quad (5)$$

نشان می دهیم.

همچنین مختصات کارتزین بردار موقعیت نقطه $P(t)$ از سطح F بر حسب مختصات سطحی را با

$$x_i(u^\alpha) \quad (6)$$

و مختصات منحنی الخط بردار موقعیت نقطه $P(t)$ از سطح F بر حسب مختصات سطحی را با

$$q^a(u^\alpha) \quad (7)$$

نمایش می دهیم. تنسور متریک سطح اینگونه تعریف خواهد شد (آلینر [۱]):

$u^\alpha; \alpha = \{1,2\}$: مختصات منحنی الخط سطحی قبل از

تغییر شکل

$\bar{u}^\alpha; \alpha = \{1,2\}$: مختصات منحنی الخط سطحی بعد از

تغییر شکل

$x_i(u^\alpha)$: مختصات کارتزین بر حسب مختصات منحنی-

الخط سطحی

$q^a(u^\alpha)$: مختصات منحنی الخط سه بعدی بر حسب

مختصات منحنی الخط سطحی

$q_{\alpha\beta}^c$: مشتق مختصات منحنی الخط سه بعدی نسبت

به مختصات منحنی الخط سطحی $\lambda_{\alpha\beta} = \partial x_i / \partial u^\beta$:

$x_{i,\alpha} = \partial x_i / \partial u^\alpha$ بردارهای پایه سطح (مشتق مختصات

کارتزین نسبت به مختصات منحنی الخط سطحی)

$f_{\alpha\beta}$: تنسور متریک (تنسور اساسی اول) سطح

λ : طول جغرافیایی روی بیضوی دورانی (طول ژئودتیک)

φ : عرض جغرافیایی روی بیضوی دورانی (عرض ژئودتیک)

h : ارتفاع از بیضوی دورانی

a : مختصات سطح - نرمال $q^a = (q^\alpha = u^\alpha, q^3 \equiv h)$

$a = \{1,2,3\}, \alpha = \{1,2\}$

$q^a = (u^1, u^2, q^3 \equiv h)$: مختصات سطح - نرمال

$q^a = (\lambda, \varphi, h) = (u^\alpha, h)$: مختصات سطح نرمال

منحنی الخط روی بیضوی دورانی

a : نیم قطر اطول بیضوی

b : نیم قطر اقصر بیضوی

e^2 : مربع خروج از مرکزیت بیضوی

N : شعاع قائم اولیه

M : شعاع نصف النهاری

$\partial h / \partial \lambda = h_\lambda = h_1$: مشتق ارتفاع نسبت به طول ژئودتیک

$\partial h / \partial \varphi = h_\varphi = h_2$: مشتق ارتفاع نسبت به عرض ژئودتیک

$h_{\varphi\varphi}$: مشتق مرتبه دوم ارتفاع نسبت به عرض ژئودتیک

δ_a^b : دلتای کرونکر

f : دترمینان تنسور متریک

$L_{\alpha\beta}; \alpha, \beta = \{1,2\}$: تنسور انحنای (تنسور اساسی دوم)

سطح

که N شعاع قائم اولیه روی هر نقطه از بیضوی به صورت زیر تعریف می‌گردد (ونیچک [۹]) :

$$N = \frac{a}{(1 - e^2 \sin^2 \varphi)^{\frac{1}{2}}} \quad (20)$$

a : نیم‌قطر اطول بیضوی
 b : نیم‌قطر اقصر بیضوی
 e^2 : مربع خروج از مرکزیت بیضوی

$$e^2 = \frac{a^2 - b^2}{a^2} \quad (21)$$

M : شعاع نصف‌النهاری روی هر نقطه از بیضوی به صورت زیر تعریف می‌گردد:

$$M = \frac{a(1 - e^2)}{(1 - e^2 \sin^2 \varphi)^{\frac{3}{2}}} \quad (22)$$

چنانچه

$$x_i = (X, Y, Z) \quad (23)$$

با توجه به رابطه (۱۱) و (۱۴) جهت محاسبه g_{cd} طبق رابطه (۴) داریم:

$$x_{i,a} = \frac{\partial x_i}{\partial q^a} = \begin{bmatrix} \partial X / \partial \lambda & \partial X / \partial \varphi & \partial X / \partial h \\ \partial Y / \partial \lambda & \partial Y / \partial \varphi & \partial Y / \partial h \\ \partial Z / \partial \lambda & \partial Z / \partial \varphi & \partial Z / \partial h \end{bmatrix} \quad (24)$$

و جهت محاسبه $f_{\alpha\beta}$ طبق رابطه (۱۰) خواهیم داشت (وثوقی [۳])

$$q_{,\alpha}^c = \frac{\partial q^c}{\partial u^\alpha} = \begin{bmatrix} \partial \lambda / \partial u^\alpha & \partial \varphi / \partial u^\alpha \\ \partial h / \partial u^\alpha & \partial h / \partial u^\alpha \end{bmatrix} = \begin{bmatrix} 1 & 0 \\ 0 & 1 \\ h_{,1} & h_{,2} \end{bmatrix} \quad (25)$$

و $h_{,1}$ و $h_{,2}$ به ترتیب مشتقات h نسبت به λ , φ می‌باشند. با توجه به مجموعه روابط ۱۸ تا ۲۰، عناصر ماتریس (۲۴) بر روی بیضوی دورانی به شکل زیر می-باشند (آلتنر [۱]) :

$$\begin{aligned} x_{1,1} &= \frac{\partial X}{\partial \lambda} = -(N + h) \cos \varphi \sin \lambda \\ &\quad + \left(\frac{\partial h}{\partial \lambda} \right) \cos \varphi \cos \lambda \end{aligned} \quad (26)$$

$$\begin{aligned} x_{2,1} &= \frac{\partial Y}{\partial \lambda} = (N + h) \cos \varphi \cos \lambda \\ &\quad + \left(\frac{\partial h}{\partial \lambda} \right) \cos \varphi \sin \lambda \end{aligned} \quad (27)$$

$$ds^2 = f_{\alpha\beta} du^\alpha du^\beta \quad (8)$$

$$f_{\alpha\beta} = x_{i,\alpha} x_{i,\beta} \quad (9)$$

که $x_{i,\alpha} = \frac{\partial x_i}{\partial u^\alpha}$, $x_{i,\beta} = \frac{\partial x_i}{\partial u^\beta}$ بردارهای پایه سطح می‌باشند.

رابطه تنسور متربک سطح $f_{\alpha\beta}$ با تنسور متربک در فضای اقلیدسی سه بعدی g_{ab} اینگونه است:

$$f_{\alpha\beta} = \frac{\partial x_i}{\partial u^\alpha} \frac{\partial x_i}{\partial u^\beta} = \frac{\partial q^c}{\partial u^\alpha} \frac{\partial q^d}{\partial u^\beta} \left(\frac{\partial x_i}{\partial q^c} \frac{\partial x_i}{\partial q^d} \right) \quad (10)$$

$$f_{\alpha\beta} = q_{,\alpha}^c q_{,\beta}^d g_{cd} \quad (11)$$

$q_{,\alpha}^c$ مشتقات مختصات منحنی الخط سه بعدی نسبت به مختصات منحنی الخط سطحی می‌باشند.

براساس هیتز [۲]، مختصات سطح-نرمال اینگونه تعريف می‌گردد:

$$\begin{aligned} q^a &= (q^\alpha = u^\alpha, q^3 \equiv h) \\ a &= \{1, 2, 3\} \text{ و } \alpha = \{1, 2\} \end{aligned} \quad (12)$$

$$q^a = (u^1, u^2, q^3 \equiv h) \quad (13)$$

نمایش مختصات سطح-نرمال بردار موقعیت بر حسب مختصات سطحی نیز به قرار زیر خواهد بود:

$$q^a(u^\alpha) = (u^1, u^2, h(u^1, u^2)) \quad (14)$$

نمونه‌ای از مختصات سطح-نرمال، مختصات جغرافیایی روی بیضوی می‌باشد.

سطح مینا = بیضوی دورانی

$$q^a = (\lambda, \varphi, h) = (u^\alpha, h) \quad (15)$$

$$u^\alpha = (\lambda, \varphi) \quad (16)$$

λ : طول جغرافیایی روی بیضوی دورانی (طول ژئودتیک)

φ : عرض جغرافیایی روی بیضوی دورانی (عرض ژئودتیک)

h : ارتفاع از بیضوی

می‌دانیم که رابطه مختصات کارتزین با مختصات سطح نرمال یک بیضوی دورانی اینگونه است (ونیچک [۹]) :

$$X = (N + h) \cos \varphi \cos \lambda \quad (17)$$

$$Y = (N + h) \cos \varphi \sin \lambda \quad (18)$$

$$Z = \left(N \frac{b^2}{a^2} + h \right) \sin \varphi \quad (19)$$

نظریه تحلیلی تغییر شکل‌های سطحی بعد سوم یعنی $q^\alpha = u^\alpha \equiv h^3$ را تابعی از دو بعد سطحی (λ, φ) فرض می‌کند (آلتنیر [۱]). یعنی:

$$q^3 = q^3(q^\alpha) = q^3(u^\alpha) \quad (\text{4.})$$

$$h = h(u^\alpha) = h(u^1, u^2) \equiv h(\lambda, \varphi) \quad (\text{F1})$$

باشد جهت بدست آوردن مشتقات h نسبت به φ, λ , یعنی

$$\begin{cases} \frac{\partial h}{\partial \lambda} = h_\lambda = h_{,1} \\ \frac{\partial h}{\partial \varphi} = h_\varphi = h_{,2} \end{cases} \quad (42)$$

نگزیر از روش‌های عددی درون‌پابی استفاده خواهد شد.

٣-٢- قنسور انحنا (قنسور اساسی دوم)

جهت ترسور اینحای سطح زمین بر اساس سیستم مختصات سطح بیضوی خواهیم داشت (وثقی [۳]):

$$L_{11} = \frac{1}{\sqrt{f}} \cos \varphi \{ h_{\lambda\lambda} (N+h)(M+h) \\ - 2h_{\lambda}^2 (M+h) - (N+h)^2 \cos \varphi \sin \varphi h_{\varphi} \\ - \cos^2 \varphi (N+h)^2 (M+h) \} \quad (43)$$

$$\begin{aligned} L_{12} &= L_{21} = \\ \frac{1}{\sqrt{f}} &\left\{ \cos \varphi (N + h) [h_{\varphi\lambda}(M + h) - h_\varphi h_\lambda] \right. \\ &+ h_\lambda(M + h) [\sin \varphi (M + h) - h_\varphi \cos \varphi] \left. \right\} \end{aligned} \quad (\text{ff})$$

$$L_{22} = \frac{1}{\sqrt{f}} \cos \varphi (N + h) \{ h_{\varphi\varphi} (M + h) - 2h_{\varphi}^2 - h_{\varphi} M_{\varphi} - (M + h)^2 \} \quad (\text{F}\Delta)$$

به طور نمونه $h_{\varphi\varphi}$ مشتق مرتبه دوم مولفه ارتفاع نسبت به عرض ژئودتیک است. f نیز دترمینان تنسور متریک می باشد:

$$f = \begin{vmatrix} f_{11} & f_{12} \\ f_{21} & f_{22} \end{vmatrix} \quad (46)$$

۳-۳- معیارهای عددی تغییر شکل

تغییر انحنای گوسی و تغییر انحنای متوسط دو معیار عددی ناورد ای نظریه تحلیلی تغییر شکل سطح می‌باشند.

تغییر انحنای گوسی، (آلتن [۱])

$$x_{3,1} = \frac{\partial Z}{\partial \lambda} = \left(\frac{\partial h}{\partial \lambda} \right) \sin \varphi \quad (78)$$

$$x_{1,2} = \frac{\partial X}{\partial \varphi} = -(M + h) \sin \varphi \cos \lambda \\ + \left(\frac{\partial h}{\partial \varphi} \right) \cos \varphi \cos \lambda \quad (39)$$

$$x_{2,2} = \frac{\partial Y}{\partial \varphi} = -(M + h) \sin \varphi \sin \lambda + \left(\frac{\partial h}{\partial \varphi} \right) \cos \varphi \sin \lambda \quad (\text{r. +})$$

$$x_{3,2} = \frac{\partial Z}{\partial \varphi} = (M + h) \cos \varphi + \left(\frac{\partial h}{\partial \varphi} \right) \sin \varphi \quad (31)$$

$$x_{1,3} = \frac{\partial X}{\partial h} = \cos \varphi \cos \lambda \quad (32)$$

$$x_{2,3} = \frac{\partial Y}{\partial h} = \cos \varphi \sin \lambda \quad (33)$$

$$x_{3,3} = \frac{\partial Z}{\partial h} = \sin \varphi \quad (44)$$

در نتیجه مختصات کووریانت تنسور متريک g_{ab} فضای اقليدسي برابر خواهد بود با

$$g_{ab} = (N + h)^2 \cos^2 \varphi \delta_a^1 \delta_b^1 + (M + h)^2 \delta_a^2 \delta_b^2 + \delta_a^3 \delta_b^3 \quad (\text{3}\omega)$$

که δ_a^b را دلتای کرونکر گویند:

$$\delta_a^b = \begin{cases} 1 & a = b \\ 0 & a \neq b \end{cases} \quad (36)$$

$$g_{ab} = \begin{bmatrix} (N+h)^2 \cos^2 \varphi & 0 & 0 \\ 0 & (M+h)^2 & 0 \\ 0 & 0 & 1 \end{bmatrix} \quad (\text{vii})$$

با توجه به روابط (۲۶) تا (۳۴) و رابطه (۳۷) برای
تنصور متريک سطح زمين بر اساس سيستم مختصات
سطح بيضوي خواهيم داشت (وثيقى [۳] و آلتيرنار [۱]):

$$f_{\alpha\beta} = \left[(N + h)^2 \cos^2 \varphi + \left(\frac{\partial h}{\partial \lambda} \right)^2 \right] \delta_{\alpha}^1 \delta_{\beta}^1 + \left(\delta_{\alpha}^1 \delta_{\beta}^2 + \delta_{\alpha}^2 \delta_{\beta}^1 \right) \frac{\partial h}{\partial \lambda} \frac{\partial h}{\partial \varphi} + \left[(M + h)^2 + \left(\frac{\partial h}{\partial \varphi} \right)^2 \right] \delta_{\alpha}^2 \delta_{\beta}^2 \quad (\text{3.1})$$

$$f_{\alpha\beta} = \begin{bmatrix} (N+h)^2 \cos^2 \varphi + \left(\frac{\partial h}{\partial \lambda}\right)^2 & \frac{\partial h}{\partial \lambda} \frac{\partial h}{\partial \varphi} \\ \frac{\partial h}{\partial \lambda} \frac{\partial h}{\partial \varphi} & (M+h)^2 + \left(\frac{\partial h}{\partial \varphi}\right)^2 \end{bmatrix} \quad (\text{39})$$

در هر المان، تابع مورد نظر با معادله المان یا تابع درون‌یابی، که معمولاً معادله جبری از مرتبه یک است، جایگزین می‌شود. این معادلات، تقریبی از تابع مورد نظر را که غالباً ناشناخته است ارائه می‌کنند. در استفاده از معادلات المان یا توابع درون‌یابی، غالباً دو نکته مورد توجه قرار می‌گیرد: اول اینکه معادله المان، از لحظه جبری، برای همه المان‌ها یکسان تعریف می‌شود. دوم اینکه با توجه به هندسه ساده المان‌ها، معادله المان به صورت بی‌واسطه و به سادگی قابل استخراج و محاسبه است. از آنجا که المان، تنها بخش کوچکی از همه فضا و محدوده مورد بررسی است به نظر می‌رسد که می‌توان تنها با تعداد کمی از معادلات جبری، به تقریب خوبی از تابع مورد نظر رسید. در این ارتباط، تعداد یا تراکم المان‌ها از سهم و نقش قابل توجهی برخوردار است. پارامترهای مشهود موجود در هر معادله المان به صورت عددی و برای هر المان از شبکه، به طور مجزا محاسبه می‌گردد؛ فرایندی که با کامپیوتر به خوبی انجام می‌گیرد.

روش اجزای محدود به دنبال یک مدل آزمایشی است که به عنوان جواب تقریبی برای تابع ناشناخته به کار رود. مدلی که تنها به صورت تقریبی در معادله کلی و شرایط مرزی صدق نماید. مدل آزمایشی به شکل جمع تعداد متناهی از توابع به فرم کلی زیر ارائه و مورد استفاده قرار می‌گیرد (وثوقی [۳]):

$$\tilde{U}(Q^J; A) = F_0(Q^J) + A_1 F_1(Q^J) \\ + A_2 F_2(Q^J) + \dots + A_N F_N(Q^J) \quad (49)$$

در این رابطه، Q^J نشان‌دهنده تمامی متغیرهای مستقل موجود در مسئله مورد نظر است. تابع $F_l(Q^J)$ تابع معلومی هستند که تابع آزمایشی و یا تابع پایه نامیده می‌شوند (وثوقی [۳]).

تابع آزمایشی $F_0(Q^J)$ با هیچ پارامتری ضرب نشده، هدف از آن برقرار کردن برخی و یا تمامی شرایط مرزی است. از لحظه عملی، مهم است که از تابع آزمایشی استفاده شود که از نظر جبری تا حد ممکن ساده باشد و به راحتی بتوان با آنها کار کرد. تابع چند جمله‌ای و یا تابع مثلثاتی نمونه‌هایی از این توابعند. ضرایب A_1, A_2, \dots, A_N پارامترهای نامعلومی هستند که در هر المان، به طور مجزا محاسبه می‌شوند.

$$\delta K = \bar{K} - K = \frac{\det(\bar{L})}{\det(f)} - \frac{\det(L)}{\det(f)} \quad (47)$$

تغییر انحنای متوسط (آلتینر [۱])

$$\delta H = \bar{H} - H = \frac{1}{2} (\bar{f}^{\alpha\beta} \bar{L}_{\alpha\beta} - f^{\alpha\beta} L_{\alpha\beta}) \\ = f^{\alpha\beta} \delta L_{\alpha\beta} + \bar{L}_{\alpha\beta} \delta f^{\alpha\beta} \quad (48)$$

انحنای گاووسی مستقل از سیستم مختصاتی است که در آن محاسبه شده است و چون کمیتی است که در صورت عدم تغییر فرم اساسی اول سطح، ثابت می‌ماند، آن را از خصوصیات هندسه ذاتی سطح برمی‌شمرند.

قدرمطلق انحنای متوسط نیز به سیستم مختصات بستگی ندارد؛ اما جهت آن وابسته به جهت نرمال بر سطح است؛ به همین علت، انحنای گاووسی پارامتر مناسب‌تری به منظور بررسی هندسه سطح است. جهت توضیحات بیشتر رجوع کنید به گوئتس (۱۹۷۰م) [۱۰]، جعفری [۸] و آمیغ پی و همکاران [۶].

۴- روش درون‌یابی اجزای محدود

در نظریه تحلیلی تغییر شکل سطح زمین، ارتفاع تابعی از مختصات منحنی الخط در نظر گرفته می‌شود؛ در نتیجه مدل‌های ریاضی مورد استفاده شامل مشتقات مؤلفه ارتفاع نسبت به مختصات منحنی الخط فضا و یا سطح، می‌باشند. این تابع، معمولاً نامعلوم است؛ بنابراین، مشتقات جزئی‌اش باید به صورت عددی برآورد گردد (وثوقی [۳]).

در روش اجزای محدود، محدوده مسئله به نواحی و محدوده‌های کوچکتر تقسیم می‌شود که آنها را اجزاء و یا المان می‌نامند. المان‌های مجاور بدون همپوشانی به هم متصل می‌شوند به نحوی که هیچ‌گونه گپی (فضای خالی) بین المان‌های مجاور وجود نداشته باشد. شکل المان‌ها تا حد ممکن به ساده‌ترین شکل ممکن در نظر گرفته می‌شود. به طور مثال، از المان‌های مثلثی‌شکل (با سه رأس) و یا چهارضلعی شکل در فضاهای دو بعدی و یا چهار وجهی و پنج وجهی در فضاهای سه بعدی استفاده می‌شود. فرآیند افزایش‌بندیک محدوده به مجموعه‌ای از المان‌ها، یعنی ایجاد شبکه، امروزه با استفاده از برنامه‌های کامپیوتی، تا حد زیادی یک فرآیند اتوماتیک و خودکار محسوب می‌شود (وثوقی [۳]).

ایستگاههای این شبکه و نرخ جابجایی‌های قائم ایستگاه‌ها مابین اپک‌های ۲۰۰۱ و ۲۰۰۵ میلادی را نمایش می‌دهد. موقعیت ایستگاه‌ها و بردارهای سرعت شبکه موردي ایران سراسری و همچنین انطباق آنها با برخی از مدل‌های ژئوفیزیکی را در مشهدی حسینعلی [۷] خواهید یافت. وی انحراف معیار مولفه ارتفاعی بردار سرعت ایستگاه‌ها را مابین ۱,۳۸ تا ۳,۳۲ میلی‌متر در سال در سطح اطمینان ۹۵ درصد برآورد نموده است.

ورنانت و همکاران (۲۰۰۴) [۱۲] نیز برآورده از دقت اندازه گیری‌های اپک ۱۹۹۹ و ۲۰۰۱ را ارائه می‌کنند، به طور مثال دقت مولفه ارتفاعی طول بازاها را ۳,۷ و ۲,۳ میلی‌متر برای اپک‌های ۱۹۹۹ و ۲۰۰۱ محاسبه کرده‌اند.

۶- تجزیه و تحلیل نتایج عددی

شکل ۵ نشان‌دهنده نرخ تغییرات انحنای گاووسی در واحد $10^{-21}/m^2\text{yr}$ است که با استفاده از روش درون‌بابی اجزای محدود محاسبه شده است. خطوط مستقیم قوههای رنگ نشان‌دهنده المان‌های مثلثی است که از روش مثلث‌بندی دلونی بدست آمده‌اند.

براساس نتایج مندرج در این شکل، در شمال ایران (بایین دریای خزر) شاهد بیشترین تغییر منفی انحنای گاووسی (کاهش انحنای گاووسی $9.992 \times 10^{-21}/m^2\text{yr}$) می‌باشیم. این محدوده کاهش انحنای تا مقدار زیادی با رشته کوههای البرز انطباق دارد. محدوده این منطقه کاهش انحنای، درجهت شرق تا ایستگاه KASH واقع در کاشمر و درجهت جنوب شرقی تا ایستگاه ROBA واقع در رباط خان در منطقه دشت کویر امتداد یافته است. در شمال شرق ایران در حوالی منطقه کلات نادری، نیز می‌توان کاهش انحنای گاووسی را ملاحظه نمود.

بیشترین مقادیر تغییر انحنای گاووسی مثبت (افزایش انحنای گاووسی $+1.574 \times 10^{-21}/m^2\text{yr}$) در مرکز ایران حوالی ایستگاه SHAH در شهر کرد مشاهده می‌شود. این محدوده تا ایستگاه ARDA در اردکان درجهت غرب توسعه یافته است.

این محدوده نیز با بخشی از رشته کوههای زاگرس انطباق دارد. در شمال تنگه هرمز و جنوب ایستگاه RAZD نیز افزایش انحنای گاووسی ($1.097 \times 10^{-21}/m^2\text{yr}$) مشاهده

توجه به لزوم پیوستگی مدل در نقاط روی مرز مابین المان‌ها، معیاری مهم در مرحله تشکیل المان‌ها می‌باشد. مشابه پیوستگی توابع، پیوستگی بین المانی می‌تواند از کلاس‌های مختلف پیوستگی از C^0 تا C^∞ منظور گردد. با تعریف شرایط مرزی بین المان‌ها، مسئله اجزای محدود جهت به کارگیری مهیا می‌باشد. این شرایط باید بوسیله مدل‌های المان‌های اطراف مرزهای بین المانی تایید شوند (وثوقی [۲]).

مثلث‌های مسطح، سهل‌الوصول‌ترین هندسه برای المان‌ها، در آنالیز اجزای محدود دو بعدی است. برای این هدف از الگوریتم مثلث‌بندی دلونی^۵ استفاده شده است. در این روش با توجه به موقعیت رؤوس موجود که به طور نامنظم، پخش شده‌اند سعی می‌شود تا حد امکان، مثلث‌ها، نزدیک به مثلث متساوی الاضلاع باشند. این روش افزایی دارای جوابی منحصر به فرد است. به عبارت دیگر به ازای P نقطه، تنها یک مثلث‌بندی دلونی وجود دارد [۱۱]. با توجه به ویژگی‌های مثلث‌بندی دلونی، می‌توان آن را به عنوان بهینه‌ترین مثلث‌بندی از لحاظ هندسی معرفی کرد.

در این تحقیق، با توجه به رابطه (۴۹)، در هر المان مثلثی، ارتفاع را تابعی خطی از طول وعرض ژئودتیک نقاط در نظر می‌گیریم:

با جایگذاری (λ, φ) رؤوس هر المان مثلثی در رابطه فوق، و با تشکیل سه معادله سه مجھولی می‌توان ضرایب را برای هر المان محاسبه نمود.

۵- داده‌های ژئودتیک فضایی مورد استفاده

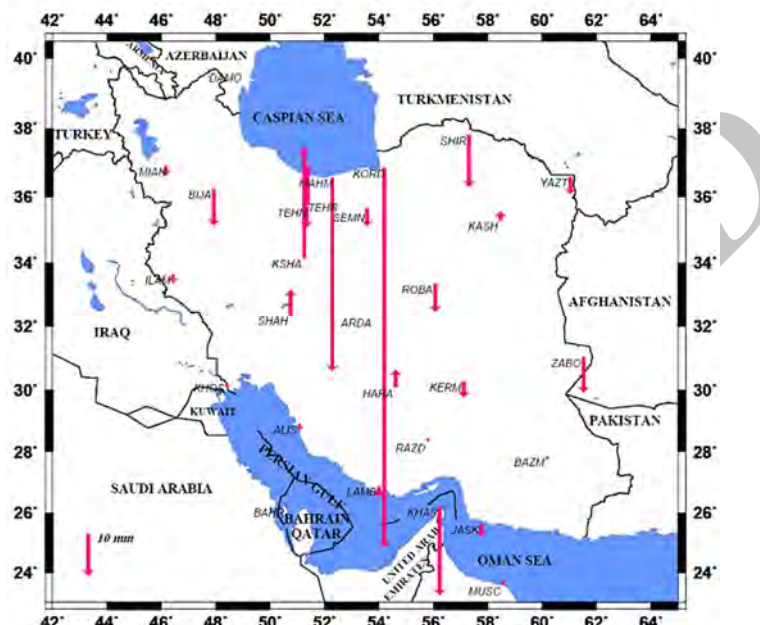
شبکه موردي ایران سراسری، نخستین شبکه سراسری ژئودزی ماهواره‌ای کشور است که در سال‌های ۱۹۹۹، ۲۰۰۱ و ۲۰۰۵ میلادی اندازه گیری شده است. این شبکه متشکل از ۲۸ ایستگاه موردي GPS است که سراسر کشور را پوشش می‌دهند. هدف عدمه از ایجاد این شبکه GPS در کشور ایران، فراهم کردن امکان مطالعه پدیده‌های ژئودینامیکی و زمین‌شناسی جهت پیش‌بینی و کشف زمین‌لرزه‌ها و نیز بدست آوردن درک بهتری از حرکات پوسته زمین عنوان می‌شود. شکل ۴ پراکندگی

⁵ Delaunay Triangulation

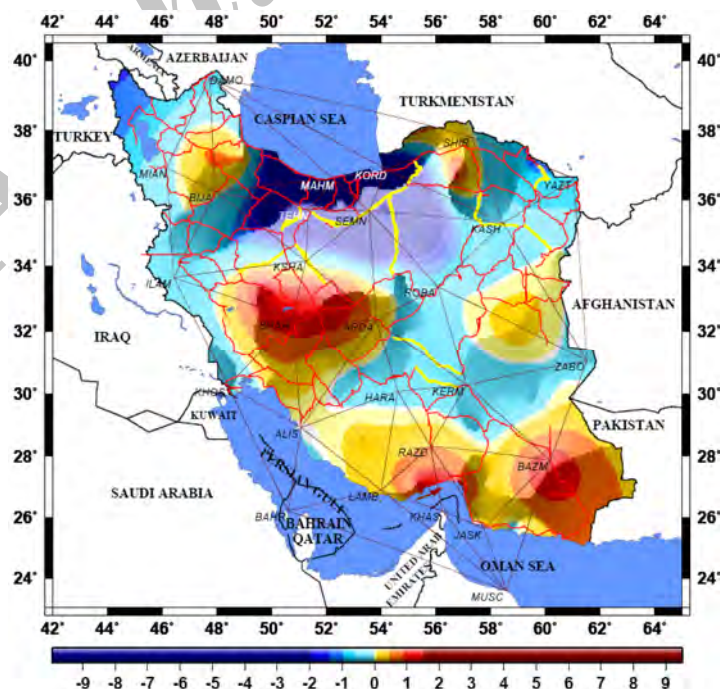
مسیرهای قرمز و زرد در شکل (۵)، نشان دهنده مسیرهای شبکه ترازیابی دقیق سراسری سازمان نقشه برداری کشور است. تکرار اندازه‌گیری این شبکه در مسیرهای زرد، نشان دهنده نشست در محدوده مسیرهای ترازیابی دقیق این مناطق است. مشاهده می‌شود که نشست‌ها اکثراً در مناطق با کاهش انحنای گاوی قرار دارند.

می‌تواند این افزایش انحنای اشاره‌های به فرورانش لیتوسفر اقیانوسی در منطقه مکران و فعل و انفعالات مابین فرآیند کوه‌زایی جوان زاگرس و منطقه فرورانش مکران باشد (ورنانت و همکاران [۱۲]).

در جنوب شرق ایران، اطراف ایستگاه BAZM در بزمان نیز افزایش انحنای گاوی مشاهده می‌شود. دو ناحیه کوچک افزایش انحنای گاوی نیز در شمال شرق و شمال غرب ایران مشاهده می‌شود.



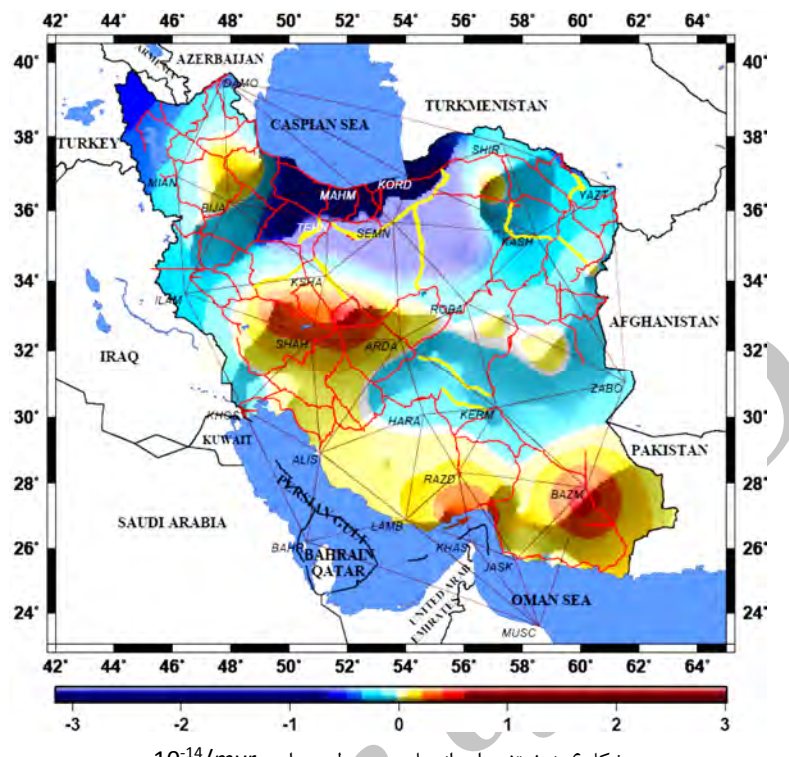
شکل ۴- نرح جابجایی های قائم نقاط ایستگاه های شبکه موردی ایران سراسری



شکل ۵- نرح تغییرات انحنای گاوی در واحد $10^{-21}/m^2\text{yr}$

الگوی تغییرات انحنای متوسط بسیار شبیه الگوی تغییرات انحنای گاووسی می‌باشد.

شکل ۶ نرخ تغییرات انحنای متوسط را در واحد $10^{-14}/\text{myr}$ نمایش می‌دهد. این نتایج با روش اجزای محدود بدست آمده است. این شکل گویای آن است که



شکل ۶- نرخ تغییرات انحنای متوسط در واحد $10^{-14}/\text{myr}$

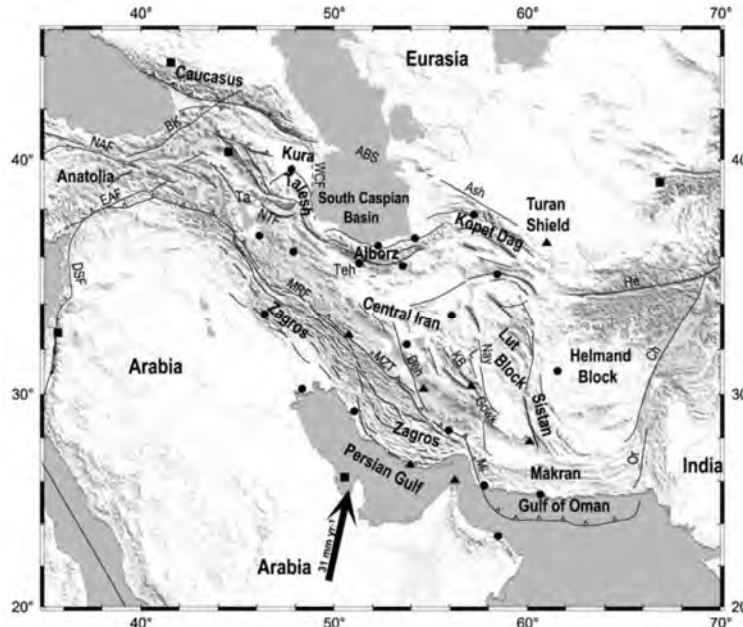
به خودگی قاره‌ای (Continental Collision) (زاگرس، قفقاز، البرز، کپه داغ و تالش)، فرورانش (Subduction) (Sharp)، لیتوسفر اقیانوسی (مکران) و یک انتقال سریع (Transition) از یک فرآیند کوهزایی جوان (زاگرس) به یک ناحیه فرورانش (مکران) (شکل ۷).

ژئودینامیک منطقه تحت الشاعر همگرایی بین صفحات عربستان و اوراسیا قرار دارد (شکل ۷). سوابق تاریخی و لرزه‌ای اشاره دارد به اینکه در ایران یک تغییر شکل قاره‌ای در حال وقوع است که در چندین رشته کوه متمرکز شده است، این رشته کوهها در میان خود بلوك‌های تقریباً غیرلرزه‌خیز را احاطه می‌کنند (همچون بلوك ایران مرکزی، بلوك لوت و بلوك جنوب دریای خزر) (شکل ۷).

۷- نتیجه گیری

با توجه به اینکه چگالی پخش نقاط در منطقه مورد مطالعه، پایین می‌باشد، به نظر می‌رسد که روش‌های درون‌یابی قادر نخواهند بود که ارتفاع‌ها را به خوبی تقریب و تکثیر نمایند. در نتیجه مشتقات ارتفاع نیز چندان با واقعیت سطح زمین انطباق نخواهند داشت. برای توضیحات بیشتر به جعفری [۸] و مشهدی حسینعلی [۷] مراجعه نمایید؛ اما به هر حال به نظر می‌رسد که نتایج این تحقیق توانسته است شواهدی از پدیده‌های زمین‌شناسی و ژئوفیزیکی فلات ایران را آشکار کند.

به گفته ورنانت و همکاران [۱۲] ایران یک آزمایشگاه ایده‌آل برای مطالعه کینماتیک و دینامیک عکس‌العمل‌های صفحات تکتونیکی است زیرا که با فرآیندهای تکتونیکی متفاوتی روبرو خواهد بود، همچون



شکل ۷ - نقشه تکتونیکی ساده‌شده خاورمیانه به همراه توپوگرافی (ورنانت و همکاران [۱۲])

حرکت لغزشی امتدادی (Strike-Slip) بزرگی در طول ناحیه گسل میناب-زندان-پالامی گزارش شده است که منطبق است بر منطقه انتقالی مابین ناحیه بهم خوردگی زاگرس و فرورانش مکران (ورنانت و همکاران [۱۲]) (گسل Mi در شکل ۷).

در این تحقیق ما، الگوی تغییرات انحنای متوسط بسیار شبیه الگوی تغییرات انحنای گاوی می‌باشد. در هر دو الگو در شمال تنگه هرمز افزایش انحنا مشاهده می‌شود که می‌تواند اشاره‌ای به فرورانش لیتوسفر اقیانوسی در منطقه مکران فعل و انفعالات مابین فرایند کوهزایی جوان زاگرس و منطقه فرورانش مکران باشد (شکل ۵ و ۶).

همچنین باید گفت که مشاهده می‌شود که نشستهای موجود در مسیرهای شبکه ترازیابی دقیق سراسری ایران، اکثرا در مناطق با کاهش انحنا قرار دارند (شکل ۵ و ۶).

همگرایی عربستان- اوراسیا ابتدا در جنوب ایران در چین خوردگی (Fold) و کمربند فشاری (Thrust Belt) زاگرس رخ داده است و اوج فرآیند کوهزایی با بالآمدگی زاگرس و البرز و فرونشست جنوب دریای خزر و تکمیل بسته شدن اقیانوس نئوتیتان نشان داده می‌شود (ورنانت و همکاران [۱۲]) (شکل ۷).

نتایج این تحقیق ما نشان می‌دهد که بیشترین مقادیر تغییر انحنای با امتداد دو رشته کوه البرز و زاگرس مطابقت دارد (شکل ۵ و ۶).

مطابق با مدل تکتونیک صفحه‌ای NUVEL-1A بر اساس آنالیز گسترش بستر دریا، سیستم گسل‌ها و بردار لغزش زمین‌لرزه‌ها، صفحه عربستان در حال حرکت در جهت شمال شرقی نسبت به صفحه اوراسیا می‌باشد (علامت پیکان پرنگ در شکل ۷). داده‌های ژئودتیک نیز تقریبا حاکی از همان جهت می‌باشد. این همگرایی مربوط به کوتاه‌شدنی درون قاره‌ای همه جای ایران به استثنای حاشیه جنوب شرقی می‌باشد، جایی که دریای عمان فرورانشی کرده است در جهت شمال به زیر مکران (ورنانت و همکاران [۱۲]).

مراجع

- [1] Altiner Y. (1999) .“Analytical Surface Deformation Theory For Detection of the Earth’s Crust Movements” , Springer-Verlag, Berlin , Germany.
- [2] Heitz S. (1988) .“Coordinates in Geodesy”, Springer-Verlag, Berlin, Germany.
- [3] Voosoghi B. (2000) .“Intrinsic Deformation Analysis of the Earth Surface Based on 3-Dimensional Displacement Fields Derived From Space Geodetic Measurements” , PhD thesis, Institute of Geodesy, University at Stuttgart, Germany.
- [4] Moghtasad-Azar K. (2007) .“Surface Deformation Analysis of Dense GPS Networks Based on Intrinsic Geometry Deterministic and Stochastic Aspects”, PhD thesis, Institute of Geodesy, University at Stuttgart, Germany.
- [5] رئوفیان نایینی، م، ۱۳۸۷ش ، برآورد تانسورکرنش در شبکه ژئودینامیک کشور، پایان نامه کارشناسی ارشد ژئودزی، دانشکده فنی، دانشگاه تهران
Raooftian Naeeni M. (2008). “The Computation of Strain Tensor in the Geodynamic Network of Iran”, M. Sc.Thesis, Faculty of Engineering, University of Tehran,Iran
- [6] آمیغ پی، م، وثوقی، ب، عربی، س، ۱۳۹۰ش، تغییر انحنا، کمیتی ناوردا به منظور بررسی تغییر شکل ارتفاعی شبکه‌های کنترل ژئودزی، تحقیق موردی بررسی فرونشست خراسان با استفاده از مشاهدات ترازیابی دقیق، مجله ژئوفیزیک ایران، جلد ۵، شماره ۲۵، ۱۱۶-۱۲۹.
- Amighpey, M., Voosoghi, B., Arabi, S. (2011). “The Change of Curvature as an Invariant Measure for Studying Height Deformation in Geodetic Control Networks”, Iranian Journal of Geophysics, v.5, no.2, p116-129
- [7] مشهدی حسینعلی، م، حیدری، ح. ر، ۱۳۸۹ش، تعیین الگوی تغییر شکل ارتفاعی سطح پوسته زمین در فلات ایران با استفاده از داده‌های شبکه GPS موردی ایران سراسری، نشریه مهندسی فناوری اطلاعات مکانی، سال یکم، شماره دوم، ۴۷-۶۴.
- جعفری، م. ر، ۱۳۸۸ش، بررسی و تعیین تغییرات انحنای پوسته زمین در ایران بوسیله مشاهدات GPS، پایان نامه کارشناسی ارشد ژئودزی، دانشکده مهندسی نقشه‌برداری، دانشگاه صنعتی خواجه نصیرالدین طوسی
- Jafari, M. (2009). “An Investigation in the Change of the Curvature of the Earth’s Crust in Iran Using the GPS Results”, M. Sc. Thesis, Faculty of Geodesy and Geometrics Engineering, K.N. Toosi University of Technology
- [9] Vanicek P. and Krakiwsky E. (1986).“Geodesy: The Concepts”, North-Holland.
- [10] گوئتس، آ، ۱۳۷۲ش، آشنایی با هندسه دیفرانسیل، ترجمه عالم زاده، م، استاد باشی زاده، م، انتشارات علوی، تهران.
Goetz, A., (1970), “Introduction to differential geometry”, Addison Wesley
- [11] ,“Delaunay Triangulation” .From Wikipedia, The Free Encyclopedia Web Resource.
<http://Delaunay triangulation - Wikipedia, the free encyclopedia.htm>
- [12] Vernant Ph. et al (2004) , “Present-day Crustal Deformation and Plate Kinematic in The Middle East Constrainedly GPS Measurement in Iran and Northern Oman” . Geophys. J. Int., v. 157, p. 381-398.